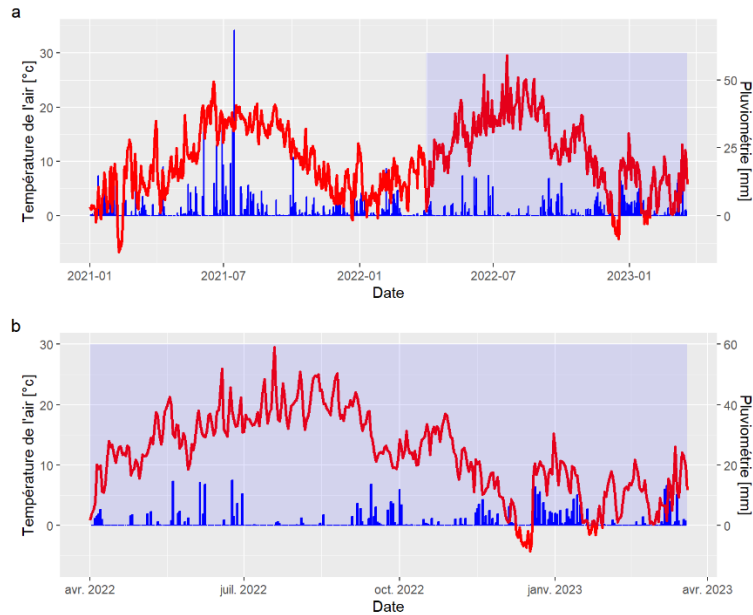
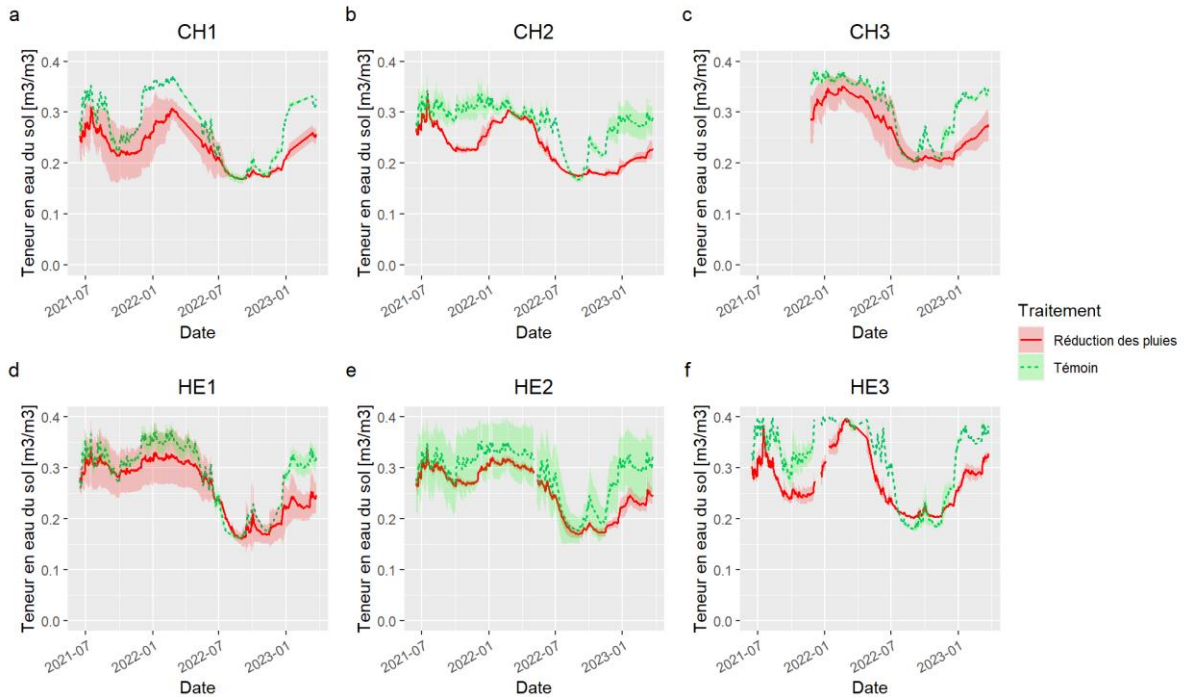


## Annexes

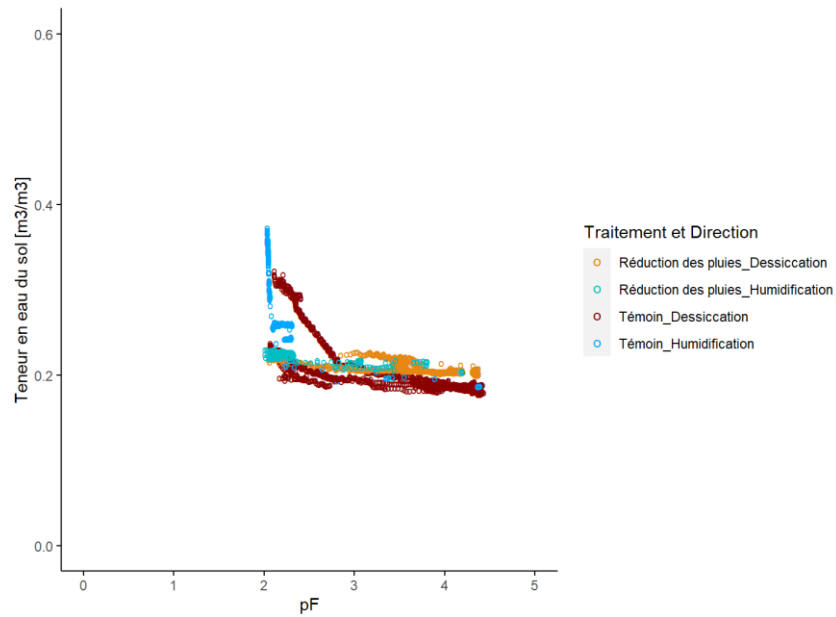
Annexe 1. Température journalière de l'air (rouge) et pluviométrie journalière (bleu) entre janvier 2021 et avril 2023 en haut (a) et entre avril 2022 et avril 2023 en bas (b) pour le bois de Lauzelle.



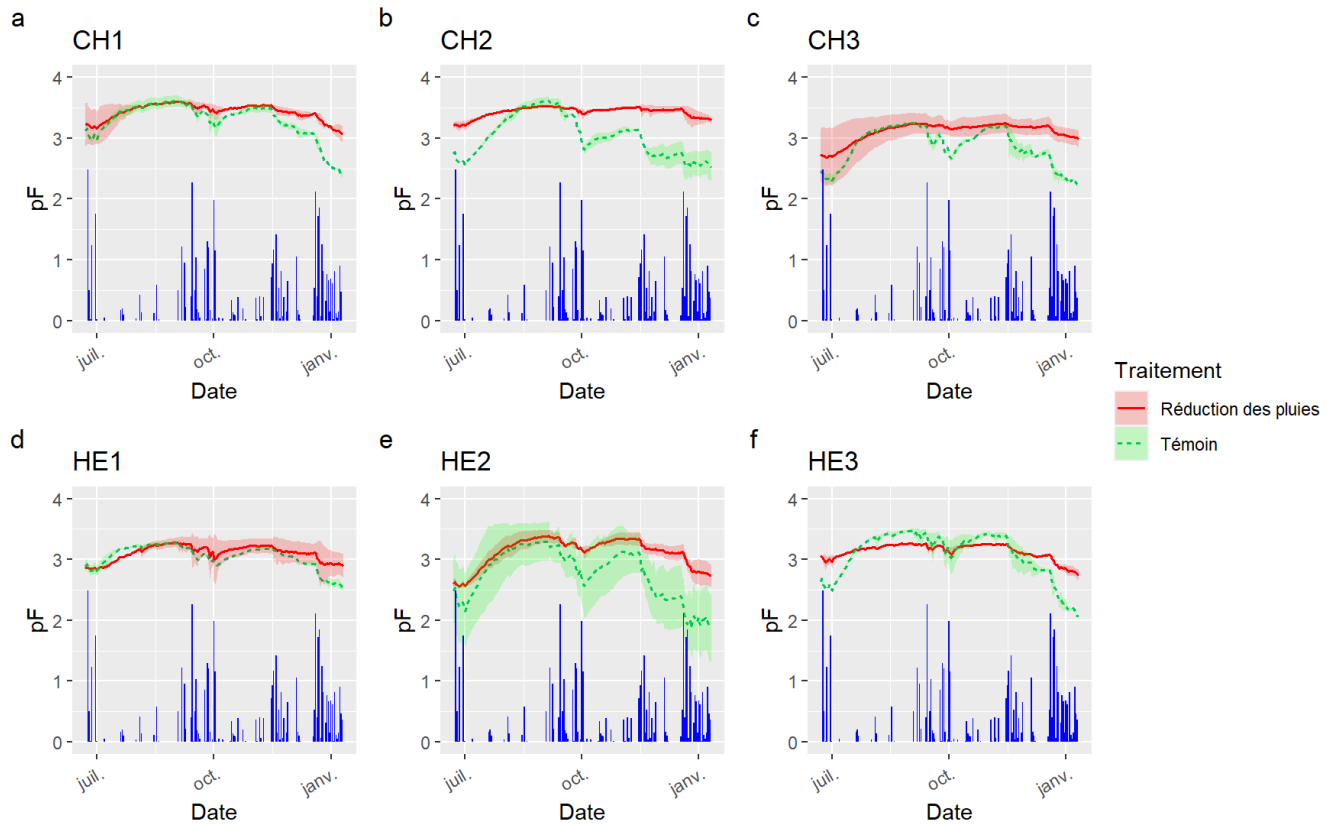
Annexe 2. Suivi temporel de la teneur en eau du sol journalière issue des sondes FDR pour les six zones entre juin 2021 et avril 2023 illustré selon le traitement.



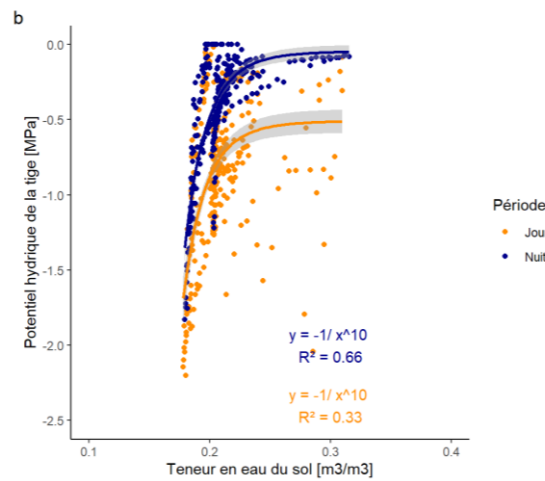
Annexe 3. Lien entre la teneur en eau volumétrique obtenue par sonde FDR et le pF obtenu par les tensiomètres selon une représentation des données qui indique si une mesure est en humidification ou en dessiccation en comparaison des mesures antérieures.



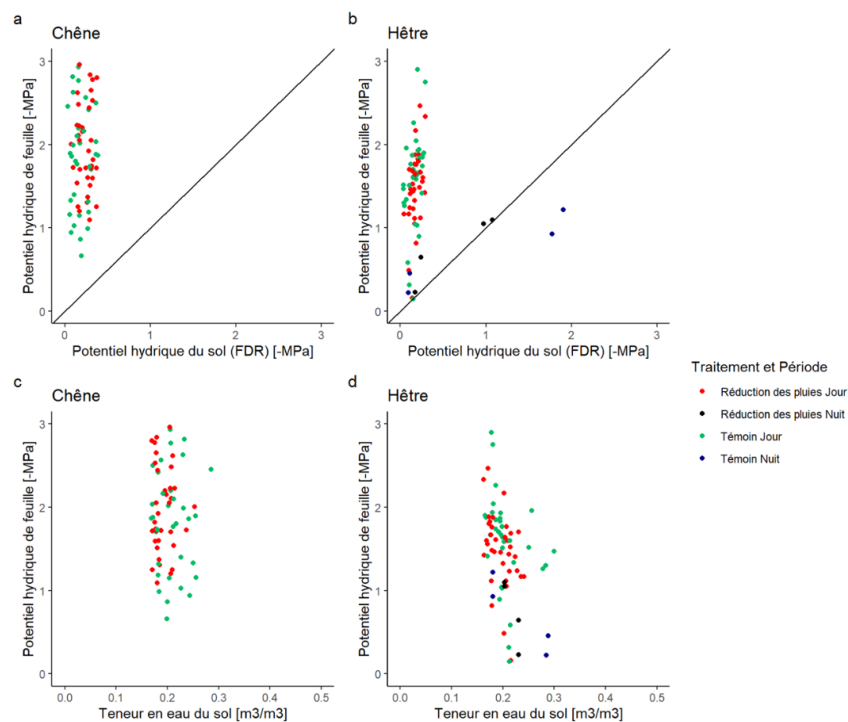
Annexe 4. Suivi temporel de la teneur en eau du sol journalière issue des sondes FDR pour les six zones entre juin 2021 et avril 2023 illustré selon le traitement.



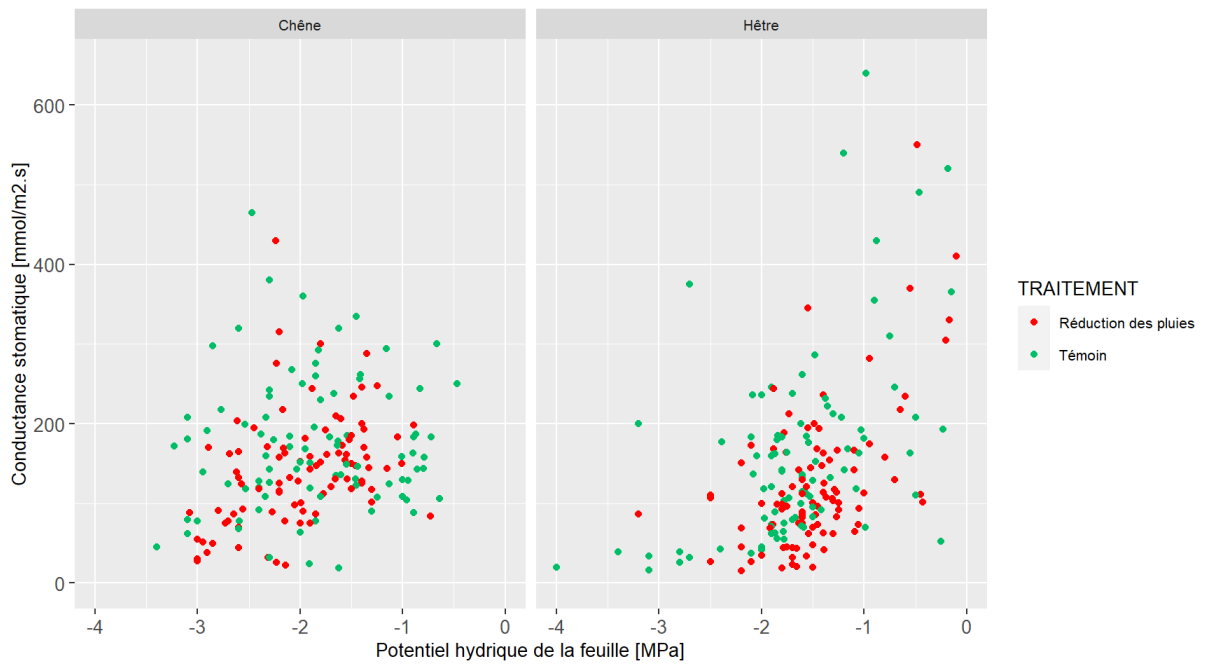
Annexe 5. Relation entre le potentiel hydrique de la tige [MPa] et la teneur en eau du sol [ $m^3/m^3$ ] pour les semis de hêtres de la zone HE3 illustré selon la période de la journée.



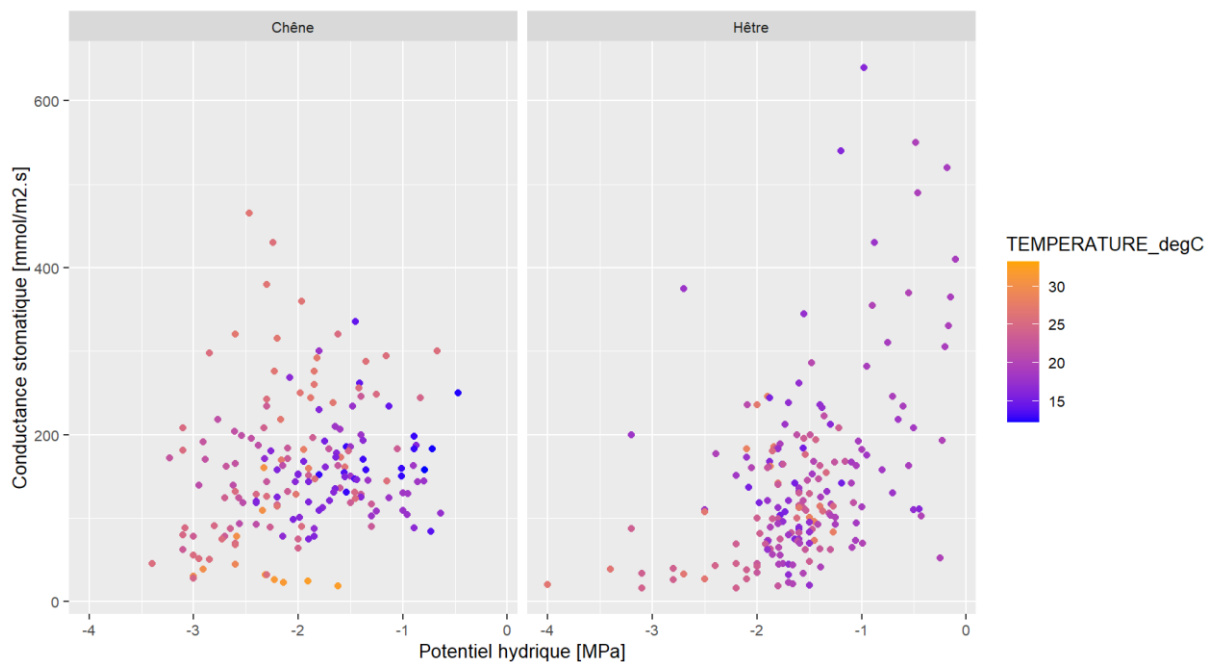
Annexe 6. Relation entre le potentiel hydrique moyen des feuilles [-MPa] provenant de la chambre à pression de Scholander et le potentiel hydrique moyen du sol (a et b) et de la teneur en eau volumétrique moyenne du sol (c et d) issue des sondes FDR. Toutes les zones sont représentées et ont été regroupées par espèces (a et c pour les chênes et b et d pour les hêtres). Les figures sont illustrées selon le traitement et selon la période de la journée (jour : 10h-15h et nuit : entre 00h-06h).



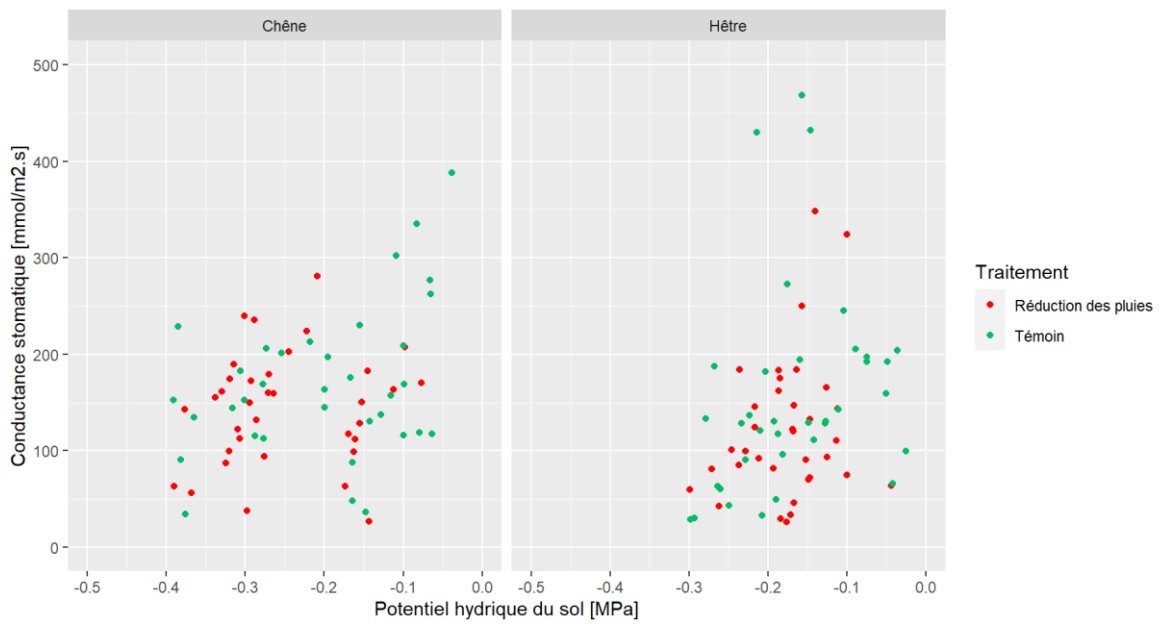
Annexe 7. Relation entre le potentiel hydrique des feuilles [MPa] et la conductance stomatique [mmol/m<sup>2</sup>/s] pour les hêtres et les chênes selon le traitement.



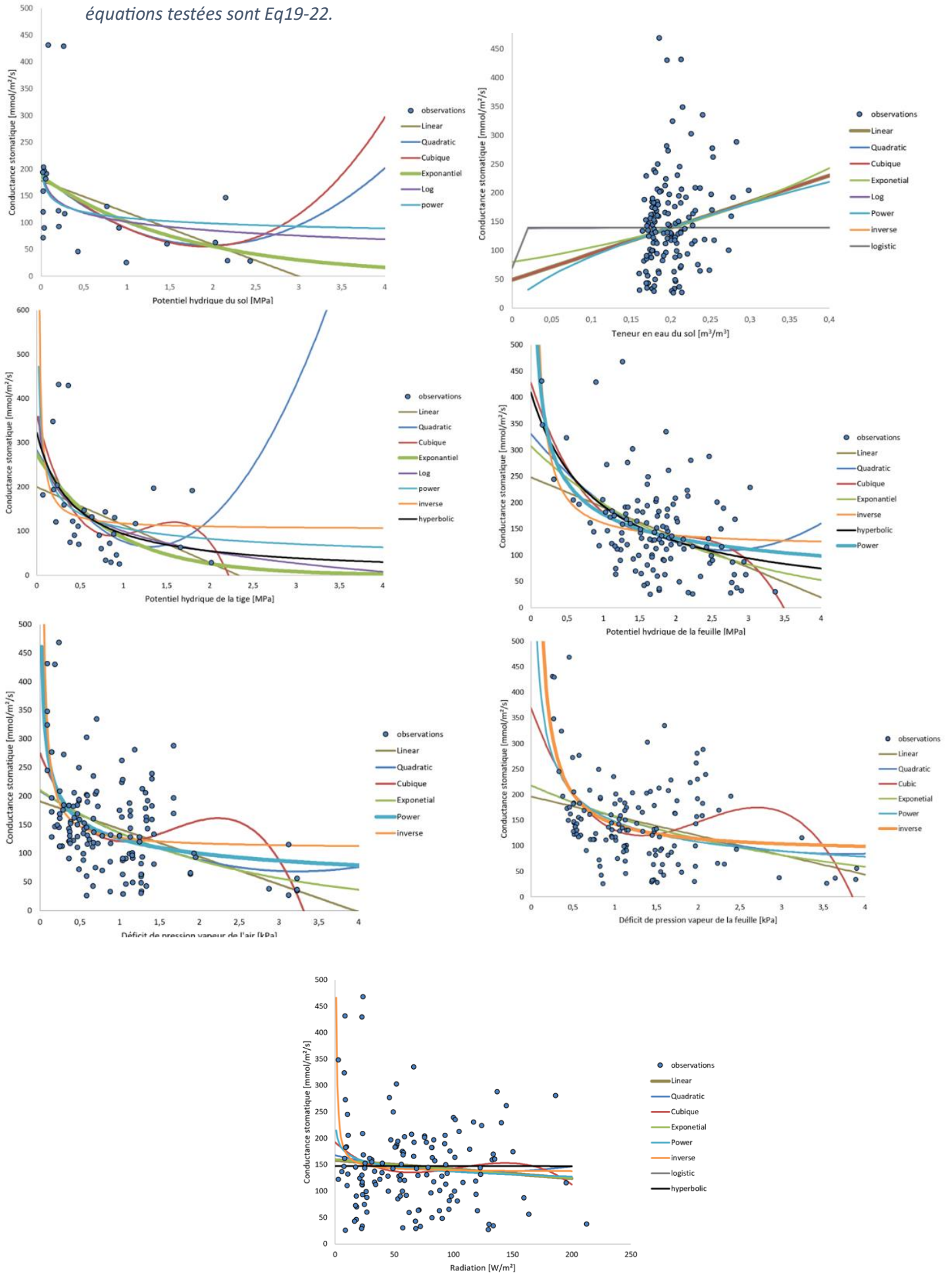
Annexe 8. Relation entre le potentiel hydrique des feuilles (chambre à pression) et la conductance stomatique (poromètre) pour les toutes les zones de hêtres et de chênes illustré selon la température foliaire.



Annexe 9. Relation entre le potentiel hydrique moyen du sol issu des sondes FDR pour les heures entre  $\pm 2h$  du midi solaire et la conductance stomatique moyenne horaire issue du poromètre pour toutes les zones de hêtre et de chêne illustrés selon le traitement.



Annexe 10. Comparaison de différentes équations bivariées faisant le lien entre la conductance stomatique et une série de variables : teneur en eau du sol, potentiel hydrique du sol, de la tige et de la feuille, déficit de pression vapeur de l'atmosphère et de la feuille et la radiation. Les équations testées sont Eq19-22.



Annexe 11. Résultats de prédiction de la conductance stomatique par des modèles multivariés avec comme variable explicative le potentiel hydrique de la feuille et le déficit de pression vapeur de l'air (haut) et de la feuille (bas) pour les semis de chênes (gauche) et de hêtres (droite).

